

Řešení tohoto příkladu je podobné řešením mnoha příkladů, které jsme tento semestr probírali. Doporučuji si tedy vykoušet si řešení příkladu samostatně a následující text použít pouze pro kontrolu =).

- Vyhodíme funkci `SimTSBinom()`, která pro zadání hodnoty parametrů p , N a počet simulací M vykreslí jeden graf s histogramem. Součástí histogramu bude popisek s Haldorovou podmínkou. Barva histogramu se bude měnit v závislosti na hodnotě Haldorovy podmínky $N \cdot p(1-p) > 9$.
 $N \cdot p(1-p) \leq 9 \Rightarrow$ barva histogramu bude černá
 $N \cdot p(1-p) > 9 \Rightarrow$ barva histogramu bude růžová

```
SimTSBinom <- function(N, p, M=...){  
  X <- replicate(..., rbinom(1,...)) ... vektor M=1000 měř. veličin z Bin(N,p) (M=1000x vytvářejeme 1 měř.  
  zW <- x/N-p / sqrt(p*(1-p)/N) ... vektor M=1000 test. statistik zW pro M=1000 měř. veličin X z Bin(N,p)  
  xfit <- ... posloupnost od min(zW)-2 do max(zW)+2 o délce minimálně 500  
  yfit <- dnorm(...) hustota N(0,1) nad posloupností xfit  
  Hp <- round(...) ... Haldorova podmínka Np(1-p) rozdělená na 4 des. místa  
  d <- max(yfit, hist(zW, plot=F)$dens) ... najdeme nejvyšší hodnotu z výšek sloupců histogramu  
  if(Hp <= 9) {c.hist <- 'red'; c.lines <- 'darkred'} ... nastavení červených odsámků histogramu a  
  if(Hp > 9) {c.hist <- ... i ...} ... nastavení růžových odsámků histogramu a červených hustot, když Np(1-p) ≤ 9  
  hist(zW, ..., col=c.hist, breaks=seq(floor(min(zW)), ceiling(max(zW)), by=0.5),  
    ylim=c(0,d), ...) ... histogram zW  
  box(bty='o') ... automatické nastavení hranic  
  lines(..., col=c.lines, ...) ... krátká N(0,1); barva růžová na hodnotě vložené v proměnné c.lines  
  mtext(bquote(...), ...) ... popisek zW  
  mtext(paste(...), ...) ... popisek N=..., p=..., Hp=...  
}
```

- Vyhodíme animaci ukazující změnu rozdílení test. s statistiky z_W při $N \rightarrow \infty$ pro (a) $p=0.1$; (b) $p=0.5$; (c) $p=0.9$ majd novou.

```
N <- c(5, 10, ...) ... posloupnost N pro zadání příkladu  
... irodní nastavení animace  
saveLatex(for(i in 1:length(N)){  
  par(...) ; 4 2  
  SimTSBinom(N=N[i], p=0.1) (a)  
  SimTSBinom(..., p=0.5) (b)  
  SimTSBinom(..., p=0.9) (c)  
})
```

Napomeněte si všich komentář, zda podle nás Haldorova podmínka dobrě ukazuje na situaci, kdy je možné rozdílení testovací s statistiky z_W approximovat normálním rozdílením $N(0,1)$ a kdy naopak ne.

$X \sim \text{Bin}(N, p)$, $N=30$, $p=0.8$. V $N=30$ mákalo celkem $x=24$ úspěchů $\Rightarrow \hat{p} = \Pr(X=1) = \frac{24}{30} = 0.8$.

↑
střední, teoretická hodnota parametru p
(máme ji, odhadujeme ji)

↑
odhad parametru p na
základě měřených dat (počtu
úspěchů v N pokusech)

Waldov (1- α)100% DIS pro parametr p :

$$(dh_{j,hh}) = \left(\frac{x}{N} - U_{1-\alpha/2} \sqrt{p(1-p)/N} \right); \quad \left(\frac{x}{N} + U_{\alpha/2} \sqrt{p(1-p)/N} \right) = (0.657, 0.943)$$

Mýšlenka vypočtu psali pokrytí Waldova (1- α)100%. IS je odlišná od té, kterou jsme používali při vypočtu psali pokrytí Waldova IS pro μ (resp. σ^2). Zde myslíme zdeho, že počet úspěchů v N pokusech je konečný. Psali pokrytí počítáme podle mřeče:

$$\Pr(\text{pokryti}) = \sum_j \Pr(X=Np_j : p \in \text{Waldova 95% DIS pro } p_j), \quad (*)$$

$$p_j \in \left\{ \frac{1}{N}, \frac{2}{N}, \dots, \frac{N-2}{N}, \frac{N-1}{N} \right\}.$$

Mýšlenku mřeče je nejnáročnější myslit mároumí pomocí tabulky, která je jedním z finálních výsledků příkladu. Zaměříme se posloupně na jednotlivé sloupy tabulky, pochopíme i jednotlivé kroky vedoucí k výsledné psali pokrytí.

x_j	p_j	dh_j	hh_j	$\Pr(X=Np_j)$	$p \in IS_j$
1	1/30	-0.0309	0.0976	0	0
2	2/30	-0.0126	0.1559	0	0
:	:	:	:	:	:
13	13/30	0.2560	0.6107	0	0
14	14/30	0.2881	0.6451	0	0
15	15/30	0.3211	0.6789	0.0002	0
16	16/30	0.3548	0.7119	0.0007	0
:	:	:	:	:	:
26	26/30	0.7450	0.9883	0.1325	1
27	27/30	0.7926	1.0074	0.0785	1
28	28/30	0.8441	1.0226	0.0337	0
29	29/30	0.9024	1.0309	0.0093	0

Handwritten notes below the table:

- x_j → x_j/N (red arrow)
- $x_j/N - U_{1-\alpha/2} \sqrt{p_j(1-p_j)/N}$ (blue bracket, labeled "dolní hranice Waldova IS pro p_j ")
- $x_j/N + U_{\alpha/2} \sqrt{p_j(1-p_j)/N}$ (blue bracket, labeled "horní hranice Waldova IS pro p_j ")
- $\Pr(X=Np_j) = \text{dbinom}(x_j, N, p_j)$ (red text, labeled "Pak je na počtu obdobu x_j $X \sim \text{Bin}(N, p)$, kde počet úspěchů právě x_j :")
- $I(p \in (dh_j, hh_j))$ (green bracket, labeled "indikátor funkce $I(\cdot) = 1$, pokud $p \in (dh_j, hh_j)$; 0, pokud $p \notin (dh_j, hh_j)$ ")
- "Naleznout odhad \hat{p} (p) do Waldova IS?" (green text)

$$\Pr(\text{pokryti}) = \sum_j \Pr(X=Np_j : p \in (dh_j, hh_j)) = \text{sum}(\Pr(X=Np_j) * (p \in IS_j))$$

1. Vyrobíme funkci PokrytiWSL(), která pro zadane hodnoty N, p, λ a zadaný typ intervalu (zde pouze Waldov) vráti (a) tabulku 29×6 uvedenou ve výsledcích; (b) počet pokrytí. V rámci příkladu 8.3 obchádime lze funkci o skóre a věrohodnostní typ intervalu.

PokrytiWSL ← function ($p, N, alpha = ...$, type = 'wald') {

$x_j \leftarrow \dots$ posloupnost celých čísel od 1 do $(N-1)$. Lze definovat map. pomocí:

$p_j \leftarrow \frac{x_j}{N} \dots$ vektor pravděpodobnosti p_j (délka = $N-1 = 29$ (pro $N=30$))

if (type == 'wald') {

$dhj \leftarrow \frac{x_j}{N} - u_{1-\alpha/2} \sqrt{p_j(1-p_j)/N}$... vektor dolních hranic Waldových IS (délka = $N-1$)

$hhj \leftarrow \frac{x_j}{N} + u_{1-\alpha/2} \sqrt{p_j(1-p_j)/N}$... vektor horních hranic Waldových IS (délka = $N-1$)

}

(*)... zde potom v rámci příkladu 8.3 doplníme výpočet dolní a horní hranice skóre a věrohodnostního IS.

pr. $X.Npj \leftarrow dbinom(...)$... $Pr(X=Npj)$ za předp. že $X \sim Bin(N, p)$... vektor o délce $N-1$

p.in.ISj ← (p > dhj & p < hhj) ... $p \in IS_j$... vektor o délce $N-1$

tab ← data.frame(...) ... tabulka výsledků se sloupcí $x_j, p_j, dhj, hhj, pr.X.Npj, p.in.ISj$

pst.pokryti ← sum(Pr(X=Npj) * (p.in.ISj)) ... výpočet počtu pokrytí (1 číslo)

return(list(tab=tab, pst.pokryti=pst.pokryti)) ... servam (list) výsledků povídavé detaly, když chceme, aby funkce měla více výsledků. Na každý výsledek se potom odkládáme přes \$. (viz bod 2.)

}

2. Pomocí funkce PokrytiWSL() vygenerujme tabulku 29×6 pro (a) $N=30, p=0.8$; (b) $N=30, p=0.79$. Při tom si myslíme 'dovolání' se konkrétního výsledku pomocí \$.

tab80 ← PokrytiWSL(p=0.8, N=30, ...) \$tab

round(tab80, 4) ... naokrouhlení na 4 des. místa

tab79 ← PokrytiWSL(p=0.79, N=30, ...) \$tab

round(tab79, 4) ... naokrouhlení na 4 des. místa

3. Pomocí funkce PokrytiWSL(...) vypočítáme poč. pokrytí pro Waldov 95% IS při (a) $N=30, p=0.8$; (b) $N=30, p=0.79$.

pst.pokryti80 ← PokrytiWSL(p=0.8, N=30, ...) \$pst.pokryti

pst.pokryti79 ← PokrytiWSL(p=0.79, N=30, ...) \$pst ... konkrétní výsledek námáme, když jej přes \$ navolame jeho návazem. Návaz však nemusíme psát celý. Využíváme si to tak, že místo \$pst.pokryti napišeme pouze \$pst nebo \$p, apod.

tab.pst ← data.frame(...) ... tabulka obsahující obě počty pokrytí.

round(tab.pst)

Komentář: $\lambda = 0.05 \rightarrow$ Očekávaná počet pokrytí Waldova 95% IS je tedy 0.95. Uvědomme si, že pokud máme reálnou situaci, když $n=30$ pokusů sledujeme počet úspěchů, potom odhad s kritériem počtu mzdání úspěchů p (tj. $\hat{p} = \frac{x}{n}$) je velmi hrubý, protože je naložen na diskrétním počtu úspěchů x .

Tento deficit se projevuje právě např. na výsledcích pokrytí. Pokud skutečná počet úspěchů $p=0.8$, a počet úspěchů $n=30$ pokusů je 24, tj. $\hat{p} = \frac{24}{30} = 0.8$, je něž v porovnat a počet pokrytí Waldova IS je cca 0.95. Nicméně, co když je skutečná počet úspěchů $p=0.79$? Nejjistějším odhadem je opět $\hat{p} = \frac{24}{30} = 0.8$, ale vidíme, že tento odhad už již nepřesný. Počet pokrytí v tomto případě klesá na cca 0.89.

V kontextu příkladu se naměříme na globální pohled na psť pokrytí Waldova 95% DIS. Záležíce v příkladu S6.2 jsme spočítali psť pokrytí Waldova 95% DIS za předpokladu, že $X \sim \text{Bin}(N, p)$, kde (a) $p = 0.80$, (b) $p = 0.79$, zde si psť pokrytí spočítáme pro hodnoty $p \in \{0.001, 0.003, \dots, 0.997, 0.999\}$. Nasledující vykreslime graf návštěvnosti psťi pokrytí na hodnotě p . Graf vykreslime pro (i) $N=30$; (ii) $N=100$; (iii) $N=500$. Nakonec do funkce PokrytiWSL() doprogramujeme výpočet psťi pokrytí pro skóre DIS a návštěvnost DIS a vykreslime analogické grafy pro skóre a návštěvnost 95% DIS.

I. Vykreslení grafu psťi pokrytí Waldova 95% DIS:

Pomáhka: Ze zadání víme, že máme finální vykreslit 3 grafy pro Waldov 95% DIS, 3 grafy pro skóre 95% DIS a 3 grafy pro návštěvnost 95% DIS. Nejlepší lidé bude využít funkci PokrytiPlot(), která pro zadání hodnoty N , α a typ IS máti sice výsledek.

1. Vyhodoute funkci:

```
PokrytiPlot <- function(N, alpha = ..., type = 'wald') {
  pst <- ... posl. od 0.001 do 0.999 po kroku 0.002
  pokryti <- NULL ... píšeme prázdného vektoru
  for(i in 1:length(pst)) {
    pokryti[i] <- PokrytiWSL(p=pst[i], N=N, alpha=alpha, type=type)
  } ... cyklos... pro každou hodnotu v vektoru pst spočítá psť pokrytí.
  if(type == 'wald') {text <- bquote(paste(...))} ... popis 'Waldov XX% IS, N=...'
  (*) if( -||- 'score') {text <- ...} ... popis 'Skore XX% IS, N=...'
  if( -||- 'likely') {text <- ...} ... popis 'Verhodnostní XX% IS, N=...
  par(...) ...  $\frac{2}{5}$ 
  plot(pst, pokryti, ylim=c(0.6, 1), ...) ... vykreslení grafu psťi pokrytí
  mtext(...) ... popisek 'p'
  mtext(text,...) ... popisek zdrojového návštěvnosti na stupni 15 (viz (*))
  abline(...) ... vodorovná ředitelna čára na hodnotě koeficientu spolehlivosti (1- $\alpha$ )
}
```

2. Funkci PokrytiPlot() použijeme pro vykreslení grafu psťi pokrytí Waldova 95% DIS pro (i) $N=30$, (ii) $N=100$; (iii) $N=500$:

$\text{par}(\dots)$... obnovit nastavení na 9 grafů: 3×3
 $N <- c(30, 100, 500)$

`for(i in 1:length(N)) { PokrytiPlot(N=N[i], type='wald')}`

Tip: Analogicky si ověříme vykreslení psťi pokrytí Waldova 99% DIS. Zkontrolujte si, zda se vám správně změnil popisek pod osou x i poloha horizontální referenční čáry.

Zopakujte si definici konzervativního a liberalního IS (viz cv. 04). V komendách uvedlo rola je Waldov DIS pro parametr p konzervativní, liberalní, nebo ani jedno.

II. Doplňení výročí na výpočet psli pokrytí skóre a věrohodnostního $(1-\alpha)100\%$. DIS.

V této části se vratíme k funkci **PokrytiWSL()**, kde na vymáčení místo (*) doplníme výpočet vektoru dolních hranic a vektoru horních hranic (1) skóre DIS pro $p_j, j=1, \dots, N-1$; (2) věrohodnostních DIS pro $p_j, j=1, \dots, N-1$. V obou případech pojmenujeme vektor dolních hranic **dhj** a vektor horních hranic **hhj**. Tím najdeme hladkou návaznost následujících příkazů (pr. X.Npj ← ..., (...), return(list(...)) bor ohledu na uvedený typ IS).

1. Doplňení výpočtu hranic skóre $(1-\alpha)100\%$. DIS ve fci **PokrytiWSL()**:

Hranice $(1-\alpha)100\%$. skóre DIS výjádříme explicitně pomocí následujícího výročí (ochvěení finálního hranice výročie, sledy k přednáškám nebo kniha Aplikování štatistické inferenční ^{AŠI I} (Kalina, Králík, Hupka))

$$IS = (dhj; hhj) = \left(\hat{p} \left(\frac{N}{N+u^2} \right) + \frac{1}{2} \frac{u^2}{N+u^2} - u \sqrt{\frac{1}{N+u^2} \left[\hat{p}(1-\hat{p}) \frac{N}{N+u^2} + \frac{1}{4} \frac{u^2}{N+u^2} \right]}, \hat{p} \left(\frac{N}{N+u^2} \right) + \frac{1}{2} \frac{u^2}{N+u^2} + u \sqrt{\frac{1}{N+u^2} \left[\hat{p}(1-\hat{p}) \frac{N}{N+u^2} + \frac{1}{4} \frac{u^2}{N+u^2} \right]} \right),$$

Kde $u = u_{1-\alpha/2} = qnorm(1-\alpha/2)$.

if (type == 'score') {

$u \leftarrow qnorm(\dots) \dots u_{1-\alpha/2}$

$dhj \leftarrow pj * (N/(N+u^2)) + \dots$ vektor dolních hranic skóre IS (délka = $N-1$)
 $hhj \leftarrow pj * (N/(N+u^2)) + \dots$ vektor horních hranic skóre IS (délka = $N-1$)

}

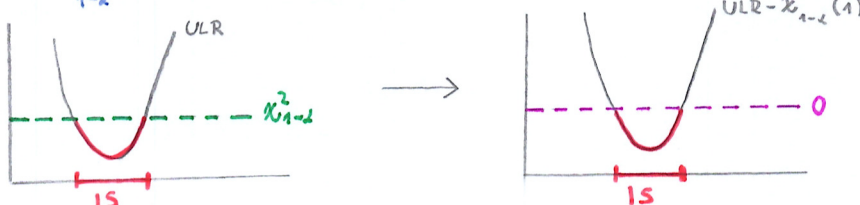
Pom: Nezapomeňte v území výročí mítadlo je
 → vektorem p_j . Analogicky jako jsme to provedli v příkazech počítajících vektor dolních, resp. horních hranic Waldova IS.
 v 6.2.

Pom: Při opisování výročí do proměnných **dhj** a **hhj** budete velmi opatrní a nápis si několikrát zkondolujte.
 Výročí jsou dráze střízlivá a často se v nich při psaní chybuje!!!

2. Doplňení výpočtu hranic věrohodnostního $(1-\alpha)100\%$. DIS ve fci **PokrytiWSL()**:

Pro výpočet hranic věrohodnostního DIS explicitní výročí neexistuje. Oblast věroh. DIS je opět definována jako množina hodnot p , pro které je test. statistika $ULR < \chi^2_{1-\alpha}(1)$. Přibližné hranice DIS bývají tedy možné mít analogicky jako v příkladech 5.8, 6.6 a 7.3. Přesné hranice však v těchto příkladech nápisela na uvedené posloupnosti (μ, σ , resp. β). Zde si ukážeme nový přístup, když máme hranice IS spočítá přesně. Stejný postup si pak můžete využít i k výpočtu výročí výročí DIS v příkladech 5.8, 6.6 a 7.3. a vypočítat si přesné hranice těchto IS.

Mýšlenka nového přístupu je rovněž na převedení nerovnosti $ULR < \chi^2_{1-\alpha}(1)$ na nerovnost $ULR - \chi^2_{1-\alpha}(1) < 0$. Tj. graficky:



Hranice věrohodnostního $(1-\alpha)100\%$. DIS nazíváme jako kořeny výročí $ULR - \chi^2_{1-\alpha}(1) \leq 0$ např. pomocí funkce **uniroot()**. Načárení \leq za \leq mám v kontextu případě až tak množství. Kultati rozdíly okolo IS definují, že hranicemi hodnoty do IS stejně nespadají =).

```
if(type == 'likely') {
```

Připravuje funkci ULRchisq(), která vráti hodnotu $U_{LR} - \chi^2_{1-\alpha}(1)$:

```
ULRchisq <- function(x, p, N, alpha = ...){
```

$$ULRchisq \leftarrow U_{LR} - \chi^2_{1-\alpha}(1) = -2 \ln(\lambda(x)) - \chi^2_{1-\alpha}(1) = 2 \left(x \ln \frac{x}{Np} + (N-x) \ln \frac{N-x}{N-Np} \right) - \chi^2_{1-\alpha}(1)$$

$- \ln(\lambda(x))$

```
return(...)
```

```
}
```

Výpočet vektoru dolních a horních hranic IS (délka = N-1):

```
dhj <- hhj <- NULL
```

definováno v úvodě funkce PokrytiWSL()

```
for(i in 1:length(pj)){
```

```
dhj[j] <- uniroot(f = ULRchisq, ...)
```

... fci, jíž kořen hledáme

interval = c(1e-6, pj[j]), interval, kde kořen leží

x = xj[j], N=N, alpha=alpha)\$root

specifikace všech ostatních parametrů fci ULRchisq().

dolní hranice IS[j] bude užitečná (menší 0 a hodnota pj je střed IS[j])

fci uniroot() vrátí následující výsledek najdenou. Hodnota kořene je uložena ve výsledku root.

```
hhj[j] <- uniroot(..., interval = c(pj[j], 1-1e-6), ...)
```

... vektor horních hranic vypočtený DIS (délka = N-1).

```
}
```

Pom.: Přádlo si, proč jsme tento postup výpočtu přesních hranic neporušili už dřív v příkladech 5.8, 6.6 a 7.3? Prostě i já se průběrně učím nové metody a mylékávám staré postupy na lepší a přesnější. A toto je přesně ten případ =).

3. Vykreslení grafů počty pokrytí skóre a věrohodnostního 95% DIS:

Grafy vykreslime opět pro (i) N=30; (ii) N=100; (iii) N=500, a to pomocí funkce PokrytiPlot().

Pokud jsme fci mapovali pomocí postupu uvedeného v I-1, nemusíme už nic modifikovat.

Pouze nyní spusťme kód obou funkcí PokrytiWSL() a PokrytiPlot(), abychom je aktualizovali a můžeme vykreslovat.

```
N <- c(30, 100, 500)
```

```
for(i in 1:length(N)) { PokrytiPlot(..., type = 'score')}
```

```
for(j = 1:11) { -11- (..., type = 'likely')}
```

Pom.: Závěrem opět v komentářích uveděl, zda je skóre a věrohodnostní DIS konzervativní, liberální, nebo ani jedno.

Pom.: Výpočet počtu pokrytí věrohodnostního DIS je časově i výpočetně náročný. Uvědomme si, že pro situaci N=500 hledáme pro každi $p \in \{0.001, 0.003, \dots, 0.999\}$ $499 \times$ dolní hranici (pro $\forall p_j, j=1 \dots (N-1)$) a $499 \times$ horní hranici. Množina $\{0.001, 0.003, \dots, 0.999\}$ obsahuje 500 hodnot. Funkce uniroot() tedy pro N=500 proběhne $499 \times 500 \times 2 = 499\ 000$ krát. Z toho důvodu může vykreslení grafu (vzájemnosti mezi počítací) trvat dle. (U mě např. 2-3 minuty.)

8.4

Z řešení příkladu 8.3 vidíme, že Waldův 15 si ze všech tří typů intervalů vzdle nejhůře. Jeho aktuální poš pokrytí je pro malá N významně nižší než nominální poš potřebí. Stejně tak je aktuální poš potřebí neuspokojivé pro velká N ($N=500$) je-li poš pomalá ($p < 0.1$) nebo moc velká ($p > 0.9$). Navíc se ve praxi může stát, že dolní hranice Waldova 15 bude menší než 0 (pokud je bude blízký 0) nebo větší než 1 (pokud je bude blízký 1). Toto můžeme jen mezičíti vlastnosti Waldova DIS. Jeho nejvýznamnější vlastností je totéž výpočetní jednoduchost (nnedlna např. při srovnání s výročnou DIS). Směrem statistiků dleží bylo majit kompromis mezi výpočetní jednoduchostí a uspokojivými vlastnostmi DIS. Jednou z cest jsou tzv. zpětné transformace DIS. Jejich myšlenka je na tom, že využijeme vhodnou transformaci parametru p (tj. $g(p)$), pomocí které spočítáme odhad rozptylu této transformace (tj. $\widehat{\text{Var}}[g(\hat{p})]$). Vypočítáme dolní a horní hranici DIS pro tuto transformaci (vypočet DIS je naložen na Waldově principu), tj. obecně:

$$(dh_g; hh_g) = (g(\hat{p}) - u_{1-\alpha/2} \sqrt{\widehat{\text{Var}}[g(\hat{p})]}, g(\hat{p}) + u_{\alpha/2} \sqrt{\widehat{\text{Var}}[g(\hat{p})]})$$

a nакonec hranice IS pro transformaci zpětně transformujeme (vhodnou transformaci) na hranice IS pro parametr p .

Zde ještě jiné možné (více či méně vhodné) transformace parametru p :

1. podíl šancí:

$$g(p) = \frac{p}{1-p} \quad \widehat{\text{Var}}[g(\hat{p})] = \frac{\hat{p}}{N(1-\hat{p})^3}$$

$$\text{Zpětná transformace: } (dh; hh) = \left(\frac{dh_g}{1+dh_g}; \frac{hh_g}{1+hh_g} \right)$$

2. logaritmus podílu šancí:

$$g(p) = \ln\left(\frac{p}{1-p}\right) \quad \widehat{\text{Var}}[g(\hat{p})] = \frac{1}{N\hat{p}(1-\hat{p})}$$

$$\text{Zpětná transformace: } (dh, hh) = \left(\frac{e^{dh_g}}{1+e^{dh_g}}; \frac{e^{hh_g}}{1+e^{hh_g}} \right)$$

3. arcusinus:

$$g(p) = \arcsin(\sqrt{p}) \quad \widehat{\text{Var}}[g(\hat{p})] = \frac{1}{4N}$$

$$\text{Zpětná transformace: } (dh, hh) = (\sin^2(dh_g); \sin^2(hh_g))$$

Jak kvalitní jsou vlastnosti těchto tří různých uvedených DIS ve srovnání s aktuální poš potřebí si ukážeme ve konkretním příkladu. =)

Tip: Provoďte si odvození $\widehat{\text{Var}}[g(\hat{p})]$ pomocí Δ metody ve všech 3 případech.

Zde si pro ukážku odvodíme $\widehat{\text{Var}}[g(\hat{p})]$ pro $g(p) = \ln\left(\frac{p}{1-p}\right)$:

$$L(p|x) = p^x (1-p)^{N-x}$$

$$l(p|x) = x \ln p + (N-x) \ln(1-p)$$

$$\frac{\partial}{\partial p} l(p|x) = \frac{x}{p} - \frac{N-x}{1-p}$$

$$\frac{\partial^2}{\partial p^2} l(p|x) = -\frac{x}{p^2} - \frac{N-x}{(1-p)^2}$$

$$I(p) = -\frac{\partial^2}{\partial p^2} l(p|x) = \frac{x}{p^2} + \frac{N-x}{(1-p)^2}$$

$$I(\hat{p}) = \frac{x}{\hat{p}^2} + \frac{N-x}{(1-\hat{p})^2} \quad / x = N\hat{p}$$

$$= \frac{N\hat{p}}{\hat{p}^2} + \frac{N-N\hat{p}}{(1-\hat{p})^2} \approx \frac{N}{\hat{p}} + \frac{N}{1-\hat{p}}$$

$$= \frac{N(1-\hat{p}) + N\hat{p}}{\hat{p}(1-\hat{p})} = \frac{N}{\hat{p}(1-\hat{p})}$$

$$\begin{aligned} g(p) &= \ln\left(\frac{p}{1-p}\right) & (1-p)^{-1} + p(1-p)^{-2} &= \frac{1}{1-p} + \frac{p}{(1-p)^2} \\ \frac{\partial}{\partial p} \ln\left(\frac{p}{1-p}\right) &= \frac{1}{p} \cdot (p(1-p))' = \frac{1-p}{p} \left(\frac{1-p+p}{(1-p)^2} \right) \\ &= \frac{1-p}{p} \cdot \frac{1}{(1-p)^2} = \frac{1}{p(1-p)} \end{aligned}$$

Δ metoda:

$$\widehat{\text{Var}}[g(\hat{p})] = \left[\frac{\partial}{\partial \theta} g(\theta) \Big|_{\theta=\hat{p}} \right]^2 / I(\hat{p})$$

$$\widehat{\text{Var}}[g(\hat{p})] = \left[\frac{\partial}{\partial p} g(p) \Big|_{p=\hat{p}} \right]^2 / I(\hat{p})$$

$$= \left[\frac{\partial}{\partial p} \ln\left(\frac{p}{1-p}\right) \Big|_{p=\hat{p}} \right]^2 / I(\hat{p})$$

$$= \left[\frac{1}{\hat{p}(1-\hat{p})} \right]^2 / \left(\frac{N}{\hat{p}(1-\hat{p})} \right)$$

$$= \frac{1}{\hat{p}^2(1-\hat{p})^2} \cdot \frac{\hat{p}(1-\hat{p})}{N} = \boxed{\frac{1}{N\hat{p}(1-\hat{p})}}$$

1. Řešení příkladu je podobné řešením uvedeným v příkladech 8.1, 8.2 a 8.3. Nejdříve vyhodíme funkci **PokrytiZT()**, která pro zadání N, p, λ a několik transformací vrátí poli pokrytí.

PokrytiZT ← function (p, N, alpha = ..., type = 'or') {

xj ← ... posl. 1, 2, ..., (N-1)

pj ← ... vektor hodn. p_j (délka = N-1)

if(type == 'or') {

dhg ← $\frac{p_j}{1-p_j} - u_{1-\alpha/2} \sqrt{\frac{p_j}{N(1-p_j)^2}}$... vektor dolních hranic IS_j pro podíl šancí (délka = N-1)

hhg ← $\frac{p_j}{1-p_j} - u_{\alpha/2} \sqrt{\frac{p_j}{N(1-p_j)^2}}$... vektor horních hranic IS_j pro podíl šancí (N-1)

dh ← $\frac{dhg}{1+dhg}$... (zpětná transformace); vektor dolních hranic zpětně transf. IS pro parametr p (N-1)

hh ← $\frac{hhg}{1+hhg}$... (zpětná transf.); vektor horních hranic zpětně transf. IS pro parametr p (N-1)

}

if(type == 'log') {

dhg ← ... vektor dolních hranic IS_j pro logaritmus podílu šancí (N-1)

hhg ← ... vektor horních hranic IS_j pro logaritmus podílu šancí (N-1)

dh ← ... (zpětná transf.); vektor dolních hranic zpětně transf. IS pro parametr p (N-1)

hh ← ... (zpětná transf.); vektor horních hranic zpětně transf. IS pro parametr p (N-1)

}

if(type == 'arcsin') {

dhg ← asin(sqrt(pj)) - ... vektor dolních hranic IS_j pro arcsin(Γ) (délka = N-1)

hhg ← asin(sqrt(pj)) - ... -||- horních hranic -||- (N-1)

dh ← ... (zpětná transf.); vektor dolních hranic zpětně transf. IS pro parametr p (N-1)

hh ← ... (zpětná transf.); -||- horních hranic -||- (N-1)

}

pr. $X.Npj \leftarrow dbinom(\dots)$... $Pr(X=Npj)$ na předpokladu, že $X \sim \text{Bin}(N, p)$... (délka = N-1)

p.in.ISj ← ... $p \in IS_j$... vektor o délce N+1

pst.pokryti ← sum(Pr(X=Npj) * (p ∈ ISj)) ... výpočet poli pokrytí (1 číslo)

return (pst.pokryti)

}

2. Vyrobíme funkci **PokrytiZTPlot()**, která pro zadání hodnoty N, λ a několik transformací vrátí příslušný graf.

Tip: funkce **PokrytiZTPlot()** je analogická funkci **PokrytiPlot()**. Prode si ji rychle vyrobí sami.

Sledovat kód funkci **PokrytiPlot()** a kopírovat a vhodně modifikovat. =)

Tip2: Nechte-li se rázem vydrážet dvě možnosti funkci **PokrytiZT()** a **PokrytiZTPlot()**, můžete rychleji pouze rozšířit funkci **PokrytiWSL()** a **PokrytiPlot()** o kód s transformacemi a grafy poli pokrytí zpětně transf. DIS využívajete pomocí nich.

3. Vykreslime grafy poli pokrytí zpětně transf. DIS s transformací (a) podílu šancí; (b) logaritmum podílu šancí; (c) arcsin(Γ) pro (i) $N=30$; (ii) $N=100$; (iii) $N=500$. (Viz 8.3). + Nezapomeňte na komentář!